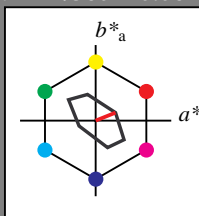


Eingabe: Farbmatisches Fernseh-Licht-System TLS70

für Buntton $h^* = lab^*h = 22/360 = 0.061$
 lab^*tch und lab^*nch

D65: Buntton O
 LCH*Ma: 76 28 22
 olv*Ma: 1.0 0.0 0.0

Dreiecks-Helligkeit



TLS70; adaptierte CIELAB-Daten

	$L^* = L^*_a$	a^*_a	b^*_a	$C^*_{ab,a}$	$h^*_{ab,a}$
OMa	76.43	26.27	10.57	28.32	22
YMa	93.93	-10.76	34.63	36.27	107
LMa	89.32	-35.8	27.64	45.24	142
CMa	90.93	-21.95	-7.07	23.07	198
VMa	72.1	15.76	-35.63	38.97	294
MMa	78.5	37.52	-25.23	45.22	326
NMa	69.7	0.0	0.0	0.0	0
WMa	95.41	0.0	0.0	0.0	0
RCIE	39.92	58.74	27.99	65.07	25
JCIE	81.26	-2.88	71.56	71.62	92
GCIE	52.23	-42.41	13.6	44.55	162
BCIE	30.57	1.41	-46.46	46.49	272

%Regularität

$g^*_{H,rel} = 34$

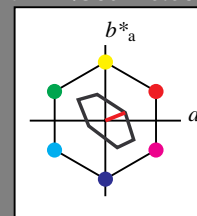
$g^*_{C,rel} = 51$

Ausgabe: Farbmatisches Fernseh-Licht-System TLS70

für Buntton $h^* = lab^*h = 22/360 = 0.061$
 lab^*tch und lab^*nch

D65: Buntton O
 LCH*Ma: 76 28 22
 olv*Ma: 1.0 0.0 0.0

Dreiecks-Helligkeit



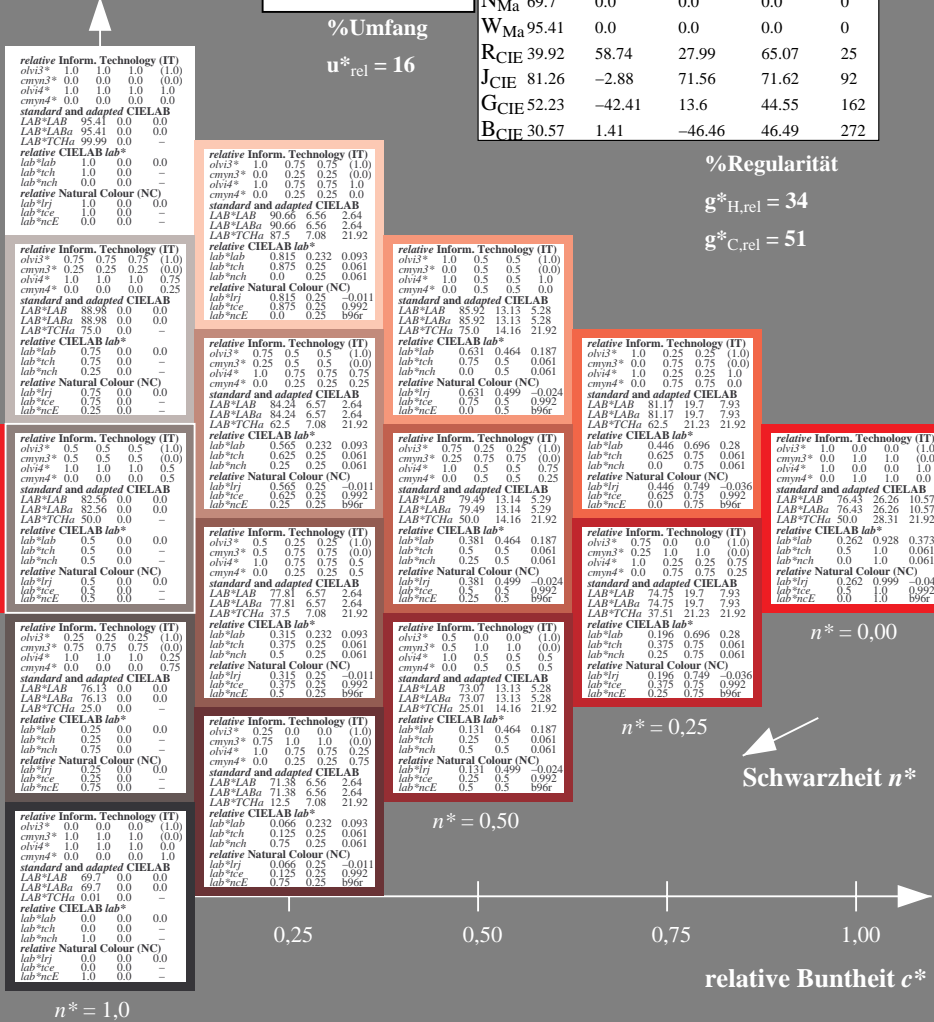
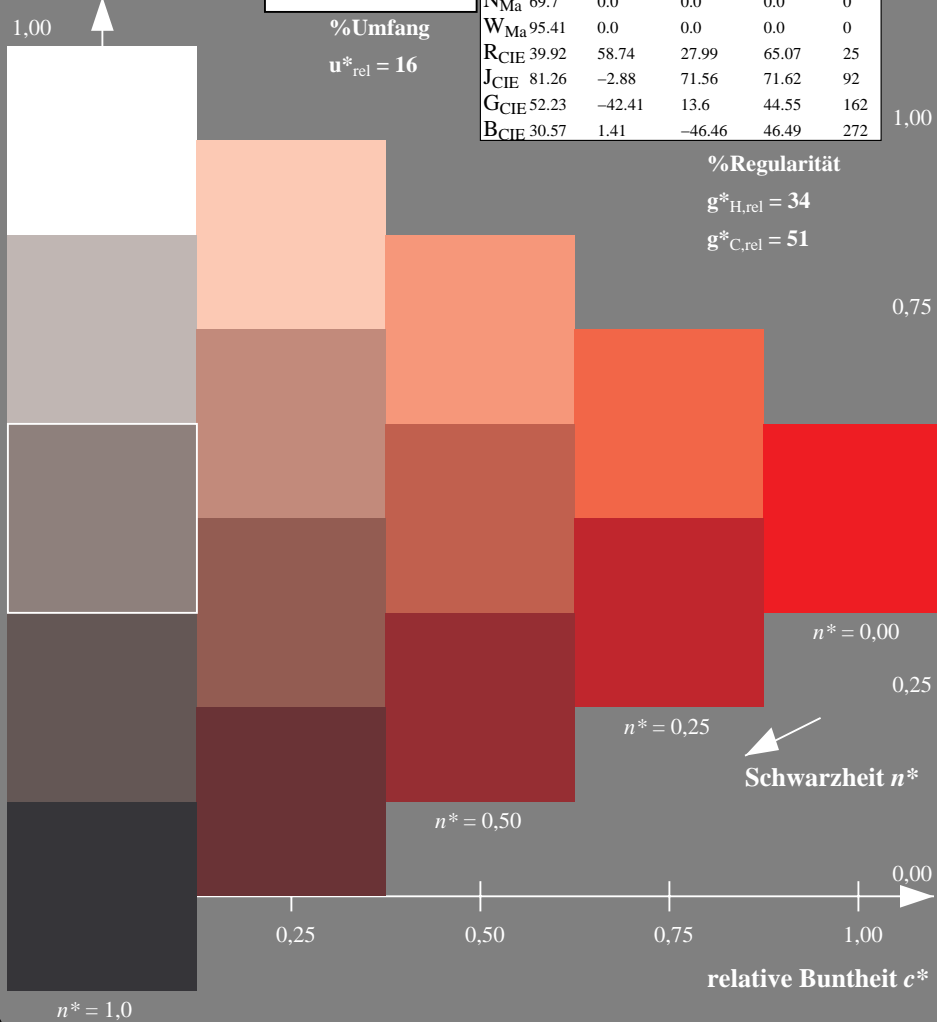
TLS70; adaptierte CIELAB-Daten

	$L^* = L^*_a$	a^*_a	b^*_a	$C^*_{ab,a}$	$h^*_{ab,a}$
OMa	76.43	26.27	10.57	28.32	22
YMa	93.93	-10.76	34.63	36.27	107
LMa	89.32	-35.8	27.64	45.24	142
CMa	90.93	-21.95	-7.07	23.07	198
VMa	72.1	15.76	-35.63	38.97	294
MMa	78.5	37.52	-25.23	45.22	326
NMa	69.7	0.0	0.0	0.0	0
WMa	95.41	0.0	0.0	0.0	0
RCIE	39.92	58.74	27.99	65.07	25
JCIE	81.26	-2.88	71.56	71.62	92
GCIE	52.23	-42.41	13.6	44.55	162
BCIE	30.57	1.41	-46.46	46.49	272

%Regularität

$g^*_{H,rel} = 34$

$g^*_{C,rel} = 51$



OG490-7, 5 stufige Reihen für konstanten CIELAB Buntton 22/360 = 0.061 (links)

5 stufige Reihen für konstanten CIELAB Buntton 22/360 = 0.061 (rechts)

BAM-Prüfvorlage OG49; Farbmatrik-Systeme ORS18 & ORS18input: $cmY0^* setcmykcolor$

D65: 5stufige Farbreihen und Koordinatendaten für 10 Bunttöne output: *Startup (S) data dependend*

BAM-Registrierung: 20060101-OG49/10L/L49G00SP.PS/.PDF BAM-Material: Code=rhakta
 Anwendung für Beurteilung und Messung von Drucker- oder Monitorssystemen
 /OG49/ Form: 1/10, Serie: 1/1, Seite: 1
 Scherz hung 1

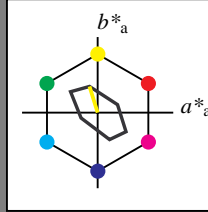
Eingabe: Farbmetrisches Fernseh-Licht-System TLS70

für Bunnton $h^* = lab^*h = 107/360 = 0.298$

lab^*tch und lab^*nch

D65: Bunnton Y
LCH*Ma: 94 36 107
olv*Ma: 1.0 1.0 0.0

Dreiecks-Helligkeit



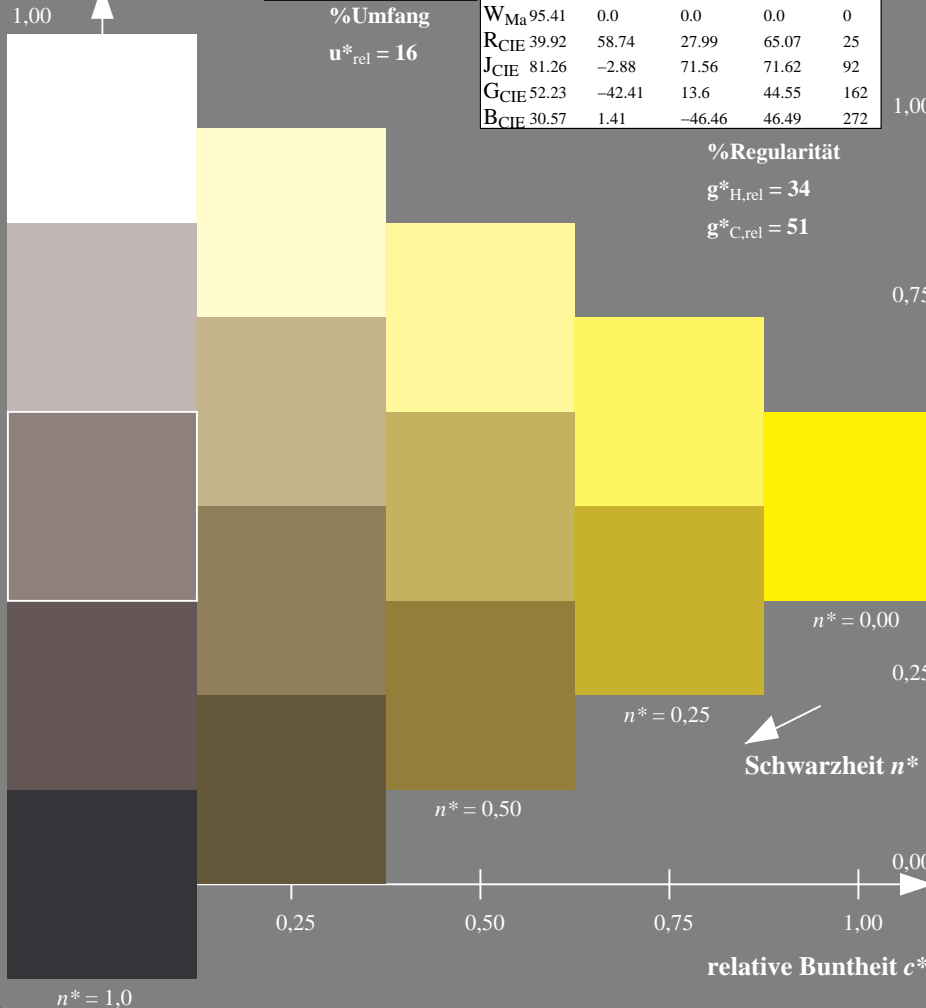
TLS70; adaptierte CIELAB-Daten

	$L^* = L^*_a$	a^*_a	b^*_a	$C^*_{ab,a}$	$h^*_{ab,a}$
O _{Ma}	76.43	26.27	10.57	28.32	22
Y _{Ma}	93.93	-10.76	34.63	36.27	107
L _{Ma}	89.32	-35.8	27.64	45.24	142
C _{Ma}	90.93	-21.95	-7.07	23.07	198
V _{Ma}	72.1	15.76	-35.63	38.97	294
M _{Ma}	78.5	37.52	-25.23	45.22	326
N _{Ma}	69.7	0.0	0.0	0.0	0
W _{Ma}	95.41	0.0	0.0	0.0	0
R _{CIE}	39.92	58.74	27.99	65.07	25
J _{CIE}	81.26	-2.88	71.56	71.62	92
G _{CIE}	52.23	-42.41	13.6	44.55	162
B _{CIE}	30.57	1.41	-46.46	46.49	272

%Regularität

$g^*_{H,rel} = 34$

$g^*_{C,rel} = 51$



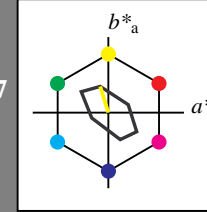
Ausgabe: Farbmetrisches Fernseh-Licht-System TLS70

für Bunnton $h^* = lab^*h = 107/360 = 0.298$

lab^*tch und lab^*nch

D65: Bunnton Y
LCH*Ma: 94 36 107
olv*Ma: 1.0 1.0 0.0

Dreiecks-Helligkeit



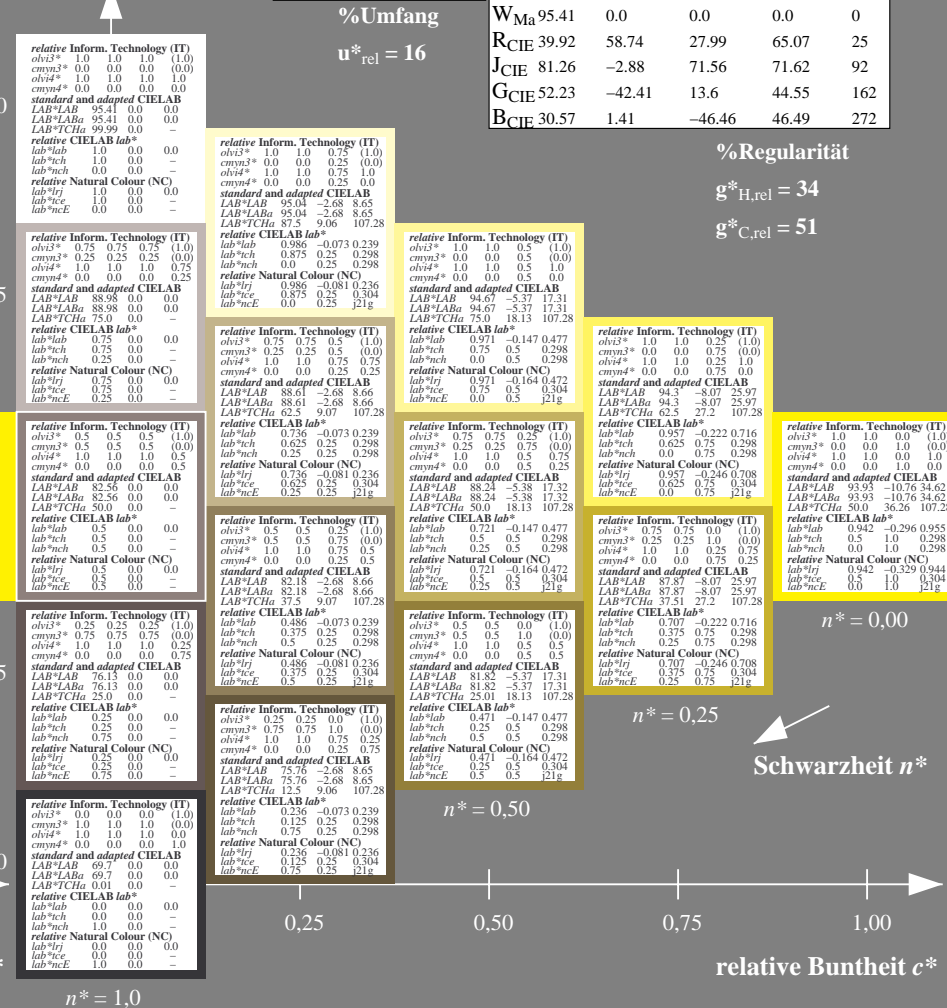
TLS70; adaptierte CIELAB-Daten

	$L^* = L^*_a$	a^*_a	b^*_a	$C^*_{ab,a}$	$h^*_{ab,a}$
O _{Ma}	76.43	26.27	10.57	28.32	22
Y _{Ma}	93.93	-10.76	34.63	36.27	107
L _{Ma}	89.32	-35.8	27.64	45.24	142
C _{Ma}	90.93	-21.95	-7.07	23.07	198
V _{Ma}	72.1	15.76	-35.63	38.97	294
M _{Ma}	78.5	37.52	-25.23	45.22	326
N _{Ma}	69.7	0.0	0.0	0.0	0
W _{Ma}	95.41	0.0	0.0	0.0	0
R _{CIE}	39.92	58.74	27.99	65.07	25
J _{CIE}	81.26	-2.88	71.56	71.62	92
G _{CIE}	52.23	-42.41	13.6	44.55	162
B _{CIE}	30.57	1.41	-46.46	46.49	272

%Regularität

$g^*_{H,rel} = 34$

$g^*_{C,rel} = 51$



OG490-7, 5 stufige Reihen für konstanten CIELAB Bunnton 107/360 = 0.298 (links)

5 stufige Reihen für konstanten CIELAB Bunnton 107/360 = 0.298 (rechts)

BAM-Prüfvorlage OG49; Farbmetrik-Systeme ORS18 & ORS18input: $cmY0^* setcmykcolor$

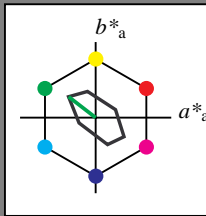
D65: 5stufige Farbreihen und Koordinatendaten für 10 Bunntöne output: Startup (S) data dependend

Eingabe: Farbmatisches Fernseh-Licht-System TLS70

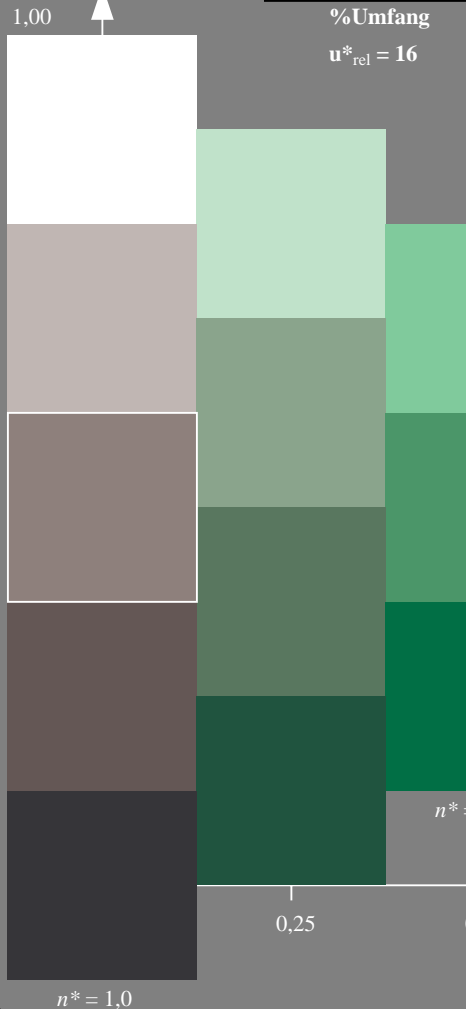
für Buntton $h^* = lab^*h = 142/360 = 0.395$
 lab^*tch und lab^*nch

D65: Buntton L
LCH*Ma: 89 45 142
olv*Ma: 0.0 1.0 0.0

Dreiecks-Helligkeit



%Umfang
 $u^*_{rel} = 16$



TLS70; adaptierte CIELAB-Daten

	$L^* = L^*_a$	a^*_a	b^*_a	$C^*_{ab,a}$	$h^*_{ab,a}$
O _{Ma}	76.43	26.27	10.57	28.32	22
Y _{Ma}	93.93	-10.76	34.63	36.27	107
L _{Ma}	89.32	-35.8	27.64	45.24	142
C _{Ma}	90.93	-21.95	-7.07	23.07	198
V _{Ma}	72.1	15.76	-35.63	38.97	294
M _{Ma}	78.5	37.52	-25.23	45.22	326
N _{Ma}	69.7	0.0	0.0	0.0	0
W _{Ma}	95.41	0.0	0.0	0.0	0
R _{CIE}	39.92	58.74	27.99	65.07	25
J _{CIE}	81.26	-2.88	71.56	71.62	92
G _{CIE}	52.23	-42.41	13.6	44.55	162
B _{CIE}	30.57	1.41	-46.46	46.49	272

%Regularität

$g^*_{H,rel} = 34$

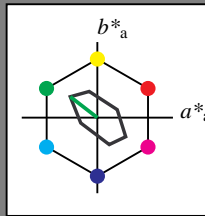
$g^*_{C,rel} = 51$

Ausgabe: Farbmatisches Fernseh-Licht-System TLS70

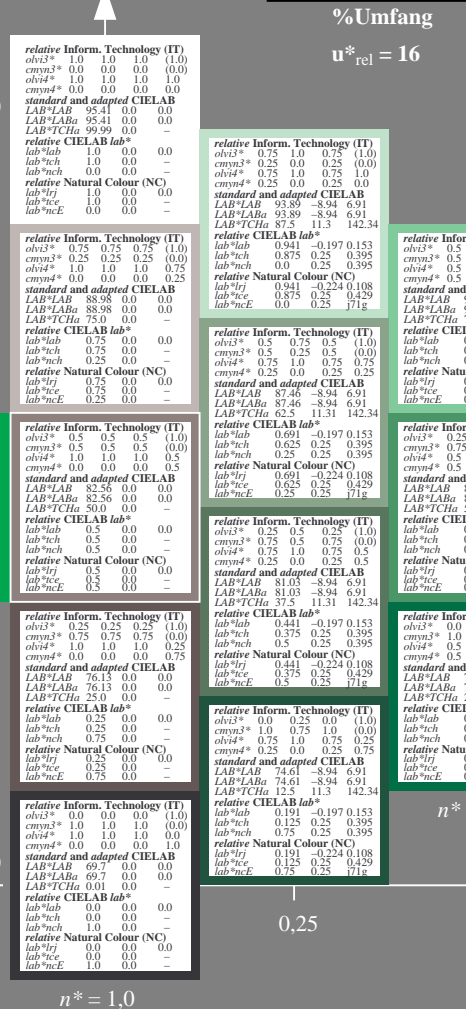
für Buntton $h^* = lab^*h = 142/360 = 0.395$
 lab^*tch und lab^*nch

D65: Buntton L
LCH*Ma: 89 45 142
olv*Ma: 0.0 1.0 0.0

Dreiecks-Helligkeit



%Umfang
 $u^*_{rel} = 16$



TLS70; adaptierte CIELAB-Daten

	$L^* = L^*_a$	a^*_a	b^*_a	$C^*_{ab,a}$	$h^*_{ab,a}$
O _{Ma}	76.43	26.27	10.57	28.32	22
Y _{Ma}	93.93	-10.76	34.63	36.27	107
L _{Ma}	89.32	-35.8	27.64	45.24	142
C _{Ma}	90.93	-21.95	-7.07	23.07	198
V _{Ma}	72.1	15.76	-35.63	38.97	294
M _{Ma}	78.5	37.52	-25.23	45.22	326
N _{Ma}	69.7	0.0	0.0	0.0	0
W _{Ma}	95.41	0.0	0.0	0.0	0
R _{CIE}	39.92	58.74	27.99	65.07	25
J _{CIE}	81.26	-2.88	71.56	71.62	92
G _{CIE}	52.23	-42.41	13.6	44.55	162
B _{CIE}	30.57	1.41	-46.46	46.49	272

%Regularität

$g^*_{H,rel} = 34$

$g^*_{C,rel} = 51$

OG490-7, 5 stufige Reihen für konstanten CIELAB Buntton 142/360 = 0.395 (links)

5 stufige Reihen für konstanten CIELAB Buntton 142/360 = 0.395 (rechts)

BAM-Prüfvorlage OG49; Farbmatrik-Systeme ORS18 & ORS18input: $cmY0^* setcmykcolor$

D65: 5stufige Farbreihen und Koordinatendaten für 10 Bunttöne output: Startup (S) data dependend

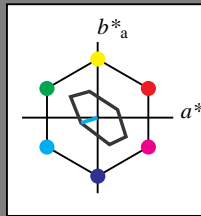
Eingabe: Farbmetrisches Fernseh-Licht-System TLS70

für Buntton $h^* = lab^*h = 198/360 = 0.55$

lab^*tch und lab^*nch

D65: Buntton C
LCH*Ma: 91 23 198
olv*Ma: 0.0 1.0 1.0

Dreiecks-Helligkeit



TLS70; adaptierte CIELAB-Daten

	$L^* = L^*_a$	a^*_a	b^*_a	$C^*_{ab,a}$	$h^*_{ab,a}$
O _{Ma}	76.43	26.27	10.57	28.32	22
Y _{Ma}	93.93	-10.76	34.63	36.27	107
L _{Ma}	89.32	-35.8	27.64	45.24	142
C _{Ma}	90.93	-21.95	-7.07	23.07	198
V _{Ma}	72.1	15.76	-35.63	38.97	294
M _{Ma}	78.5	37.52	-25.23	45.22	326
N _{Ma}	69.7	0.0	0.0	0.0	0
W _{Ma}	95.41	0.0	0.0	0.0	0
RCIE	39.92	58.74	27.99	65.07	25
JCIE	81.26	-2.88	71.56	71.62	92
GCIE	52.23	-42.41	13.6	44.55	162
BCIE	30.57	1.41	-46.46	46.49	272

%Regularität

$g^*_{H,rel} = 34$

$g^*_{C,rel} = 51$

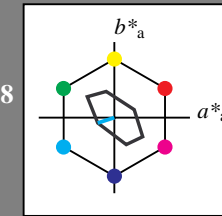
Ausgabe: Farbmetrisches Fernseh-Licht-System TLS70

für Buntton $h^* = lab^*h = 198/360 = 0.55$

lab^*tch und lab^*nch

D65: Buntton C
LCH*Ma: 91 23 198
olv*Ma: 0.0 1.0 1.0

Dreiecks-Helligkeit



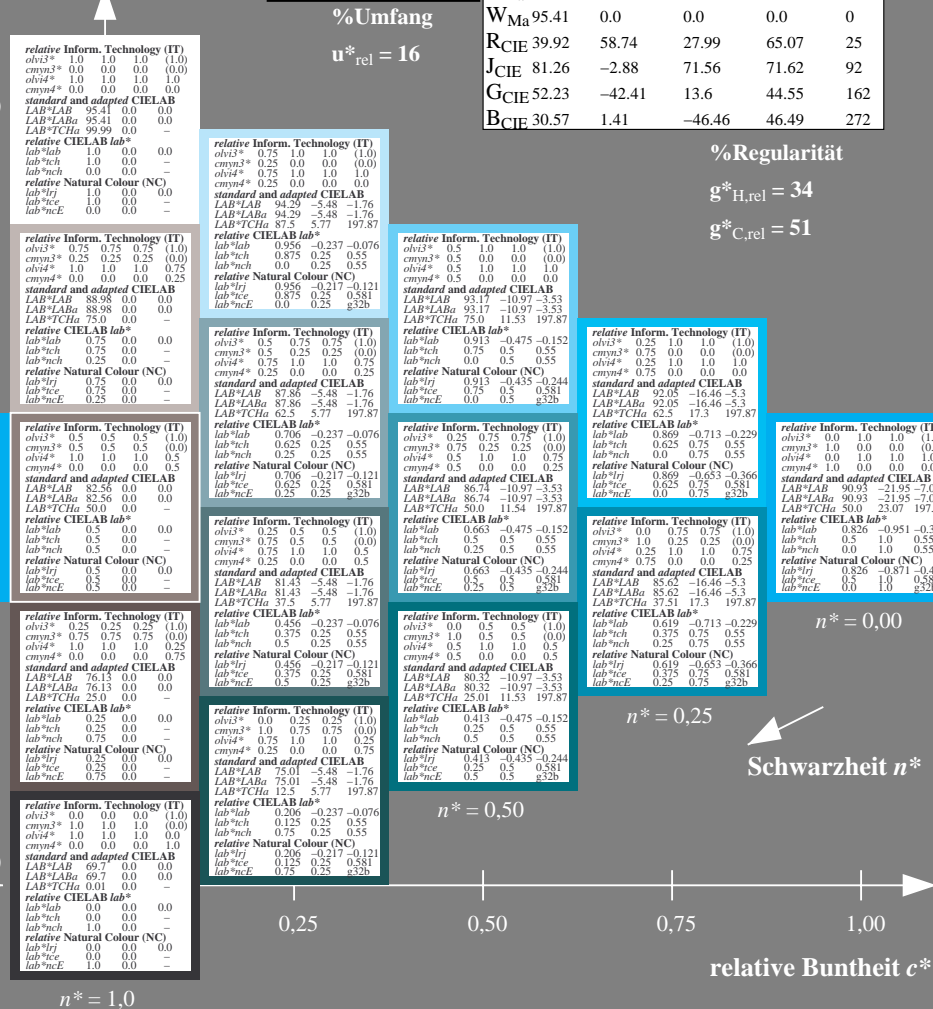
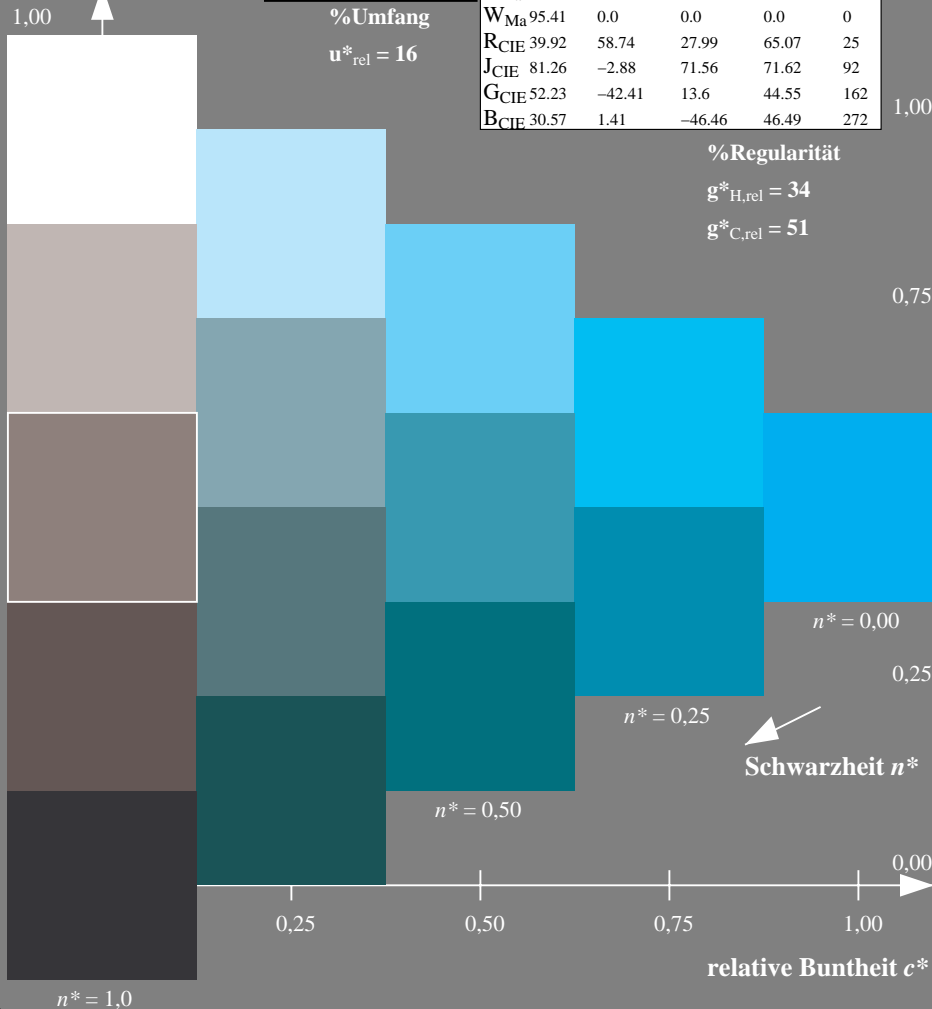
TLS70; adaptierte CIELAB-Daten

	$L^* = L^*_a$	a^*_a	b^*_a	$C^*_{ab,a}$	$h^*_{ab,a}$
O _{Ma}	76.43	26.27	10.57	28.32	22
Y _{Ma}	93.93	-10.76	34.63	36.27	107
L _{Ma}	89.32	-35.8	27.64	45.24	142
C _{Ma}	90.93	-21.95	-7.07	23.07	198
V _{Ma}	72.1	15.76	-35.63	38.97	294
M _{Ma}	78.5	37.52	-25.23	45.22	326
N _{Ma}	69.7	0.0	0.0	0.0	0
W _{Ma}	95.41	0.0	0.0	0.0	0
RCIE	39.92	58.74	27.99	65.07	25
JCIE	81.26	-2.88	71.56	71.62	92
GCIE	52.23	-42.41	13.6	44.55	162
BCIE	30.57	1.41	-46.46	46.49	272

%Regularität

$g^*_{H,rel} = 34$

$g^*_{C,rel} = 51$



OG490-7, 5 stufige Reihen für konstanten CIELAB Buntton 198/360 = 0.55 (links)

5 stufige Reihen für konstanten CIELAB Buntton 198/360 = 0.55 (rechts)

BAM-Prüfvorlage OG49; Farbmetrik-Systeme ORS18 & ORS18input: $cmY0^* setcmykcolor$

D65: 5stufige Farbreihen und Koordinatendaten für 10 Bunttöne output: *Startup (S) data dependend*

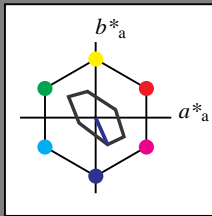
Eingabe: Farbmatisches Fernseh-Licht-System TLS70

für Buntton $h^* = lab^*h = 294/360 = 0.816$

lab^*tch und lab^*nch

D65: Buntton V
LCH*Ma: 72 39 294
olv*Ma: 0.0 0.0 1.0

Dreiecks-Helligkeit



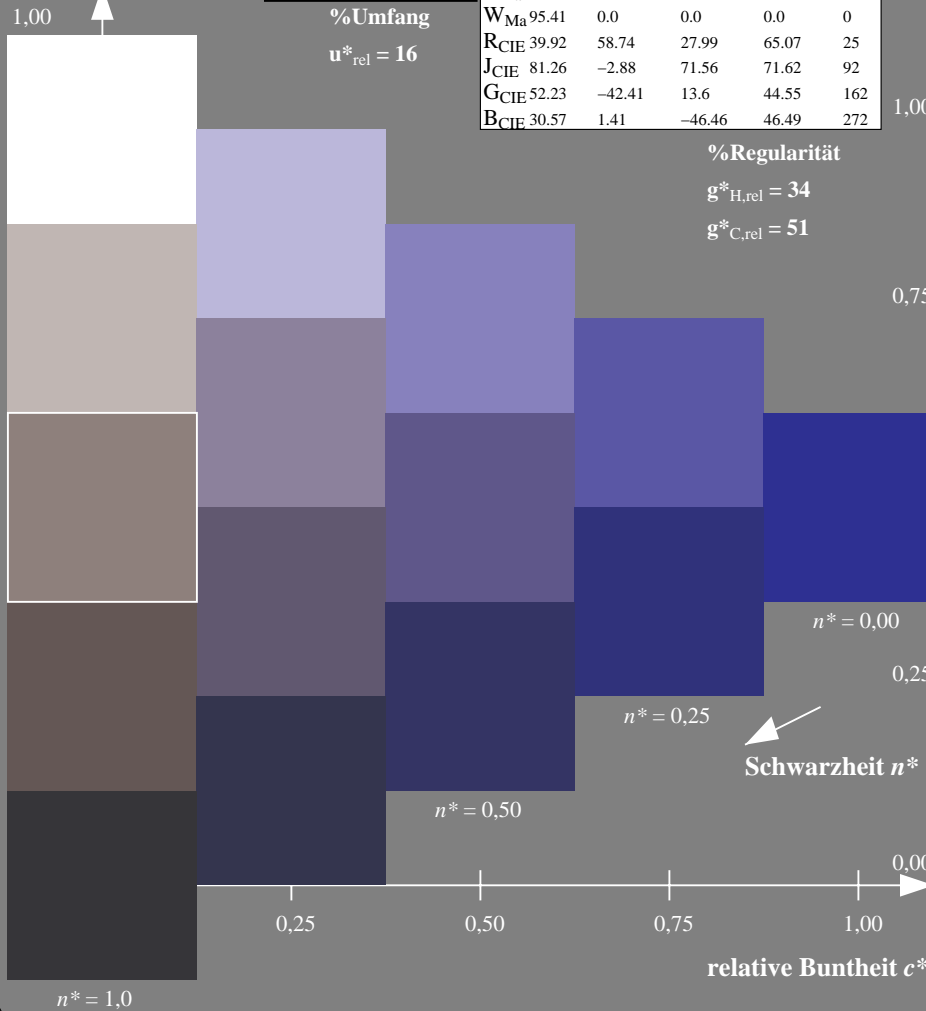
TLS70; adaptierte CIELAB-Daten

	$L^* = L^*_a$	a^*_a	b^*_a	$C^*_{ab,a}$	$h^*_{ab,a}$
O _{Ma}	76.43	26.27	10.57	28.32	22
Y _{Ma}	93.93	-10.76	34.63	36.27	107
L _{Ma}	89.32	-35.8	27.64	45.24	142
C _{Ma}	90.93	-21.95	-7.07	23.07	198
V _{Ma}	72.1	15.76	-35.63	38.97	294
M _{Ma}	78.5	37.52	-25.23	45.22	326
N _{Ma}	69.7	0.0	0.0	0.0	0
W _{Ma}	95.41	0.0	0.0	0.0	0
RCIE	39.92	58.74	27.99	65.07	25
JCIE	81.26	-2.88	71.56	71.62	92
GCIE	52.23	-42.41	13.6	44.55	162
BCIE	30.57	1.41	-46.46	46.49	272

%Regularität

$g^*_{H,rel} = 34$

$g^*_{C,rel} = 51$



OG490-7, 5 stufige Reihen für konstanten CIELAB Buntton 294/360 = 0.816 (links)

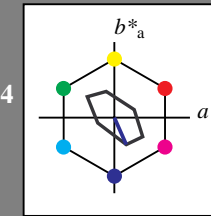
Ausgabe: Farbmatisches Fernseh-Licht-System TLS70

für Buntton $h^* = lab^*h = 294/360 = 0.816$

lab^*tch und lab^*nch

D65: Buntton V
LCH*Ma: 72 39 294
olv*Ma: 0.0 0.0 1.0

Dreiecks-Helligkeit



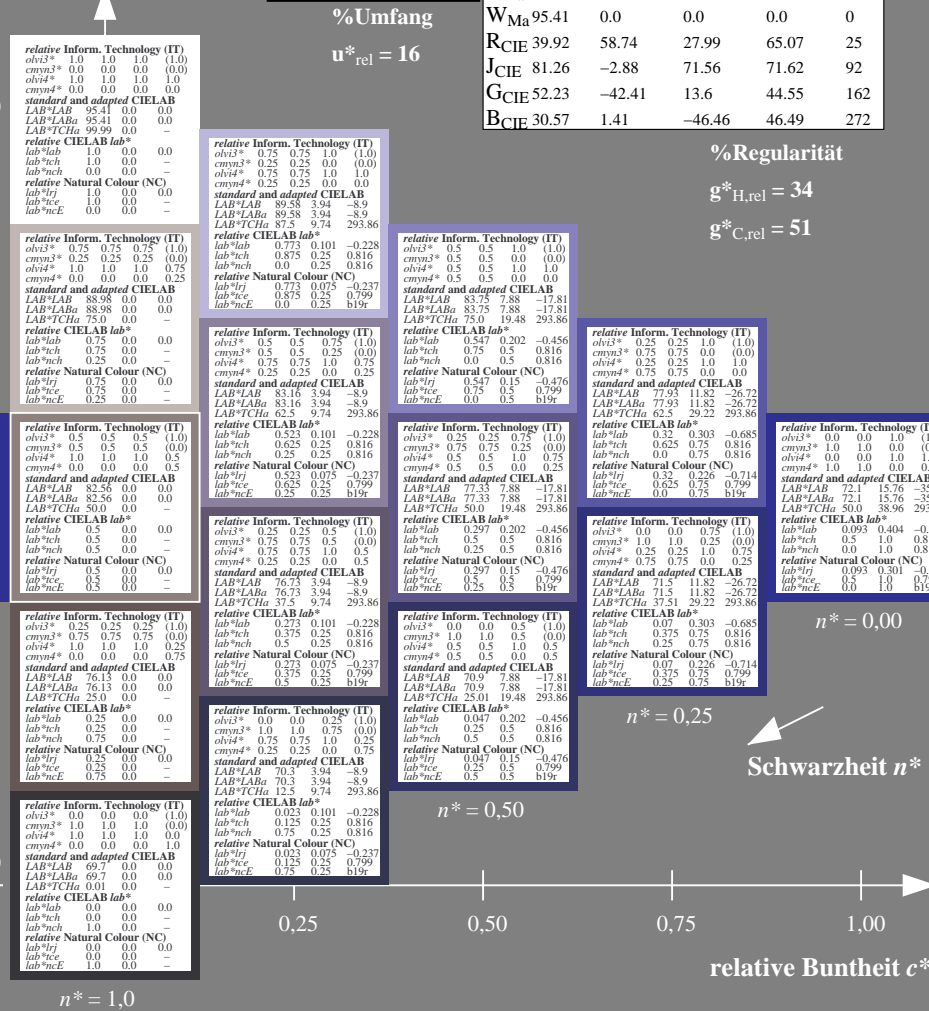
TLS70; adaptierte CIELAB-Daten

	$L^* = L^*_a$	a^*_a	b^*_a	$C^*_{ab,a}$	$h^*_{ab,a}$
O _{Ma}	76.43	26.27	10.57	28.32	22
Y _{Ma}	93.93	-10.76	34.63	36.27	107
L _{Ma}	89.32	-35.8	27.64	45.24	142
C _{Ma}	90.93	-21.95	-7.07	23.07	198
V _{Ma}	72.1	15.76	-35.63	38.97	294
M _{Ma}	78.5	37.52	-25.23	45.22	326
N _{Ma}	69.7	0.0	0.0	0.0	0
W _{Ma}	95.41	0.0	0.0	0.0	0
RCIE	39.92	58.74	27.99	65.07	25
JCIE	81.26	-2.88	71.56	71.62	92
GCIE	52.23	-42.41	13.6	44.55	162
BCIE	30.57	1.41	-46.46	46.49	272

%Regularität

$g^*_{H,rel} = 34$

$g^*_{C,rel} = 51$



5 stufige Reihen für konstanten CIELAB Buntton 294/360 = 0.816 (rechts)

BAM-Prüfvorlage OG49; Farbmatrik-Systeme ORS18 & ORS18input: $cmY0^* setcmykcolor$

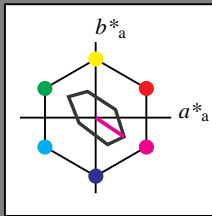
D65: 5stufige Farbreihen und Koordinatendaten für 10 Bunttöne output: Startup (S) data dependend

Eingabe: Farbmatisches Fernseh-Licht-System TLS70

für Buntton $h^* = lab^*h = 326/360 = 0.906$
 lab^*tch und lab^*nch

D65: Buntton M
LCH*Ma: 79 45 326
olv*Ma: 1.0 0.0 1.0

Dreiecks-Helligkeit

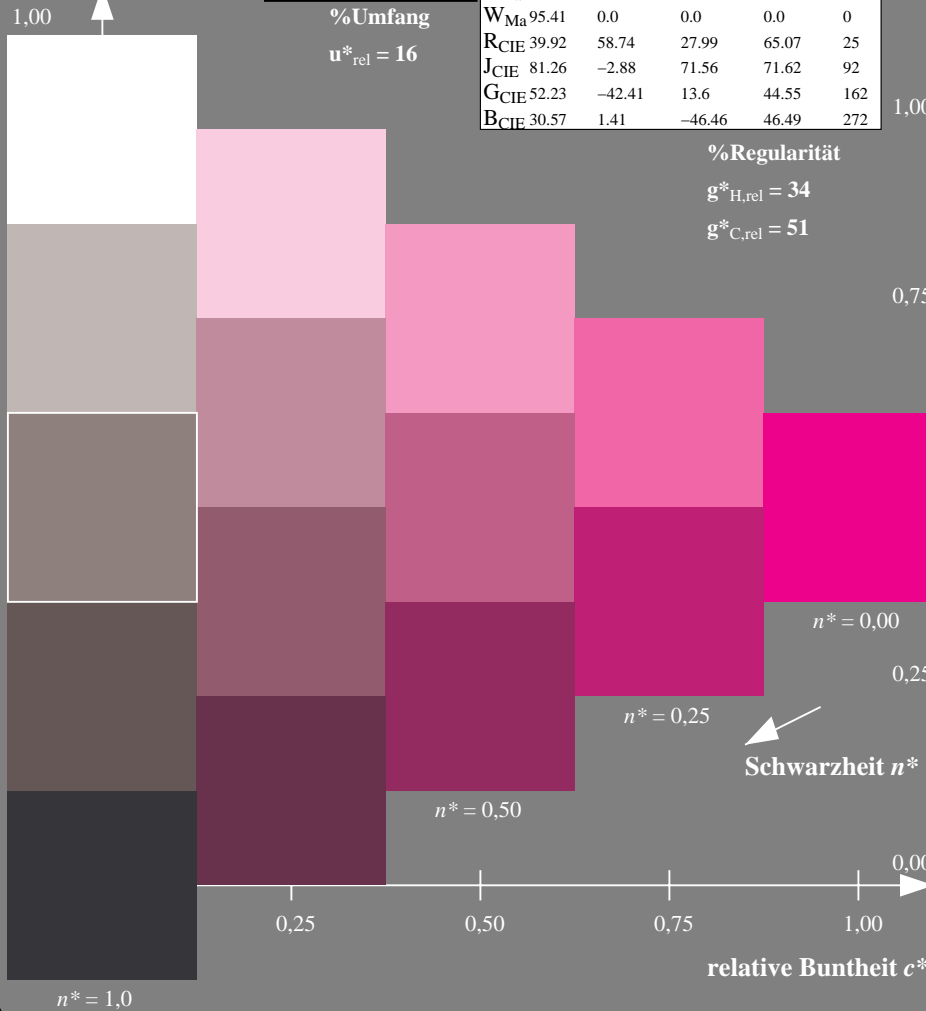


TLS70; adaptierte CIELAB-Daten

	$L^* = L^*_a$	a^*_a	b^*_a	$C^*_{ab,a}$	$h^*_{ab,a}$
O _{Ma}	76.43	26.27	10.57	28.32	22
Y _{Ma}	93.93	-10.76	34.63	36.27	107
L _{Ma}	89.32	-35.8	27.64	45.24	142
C _{Ma}	90.93	-21.95	-7.07	23.07	198
V _{Ma}	72.1	15.76	-35.63	38.97	294
M _{Ma}	78.5	37.52	-25.23	45.22	326
N _{Ma}	69.7	0.0	0.0	0.0	0
W _{Ma}	95.41	0.0	0.0	0.0	0
R _{CIE}	39.92	58.74	27.99	65.07	25
J _{CIE}	81.26	-2.88	71.56	71.62	92
G _{CIE}	52.23	-42.41	13.6	44.55	162
B _{CIE}	30.57	1.41	-46.46	46.49	272

%Umfang
 $u^*_{rel} = 16$

%Regularität
 $g^*_{H,rel} = 34$
 $g^*_{C,rel} = 51$



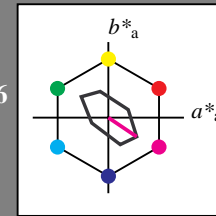
OG490-7, 5 stufige Reihen für konstanten CIELAB Buntton 326/360 = 0.906 (links)

Ausgabe: Farbmatisches Fernseh-Licht-System TLS70

für Buntton $h^* = lab^*h = 326/360 = 0.906$
 lab^*tch und lab^*nch

D65: Buntton M
LCH*Ma: 79 45 326
olv*Ma: 1.0 0.0 1.0

Dreiecks-Helligkeit

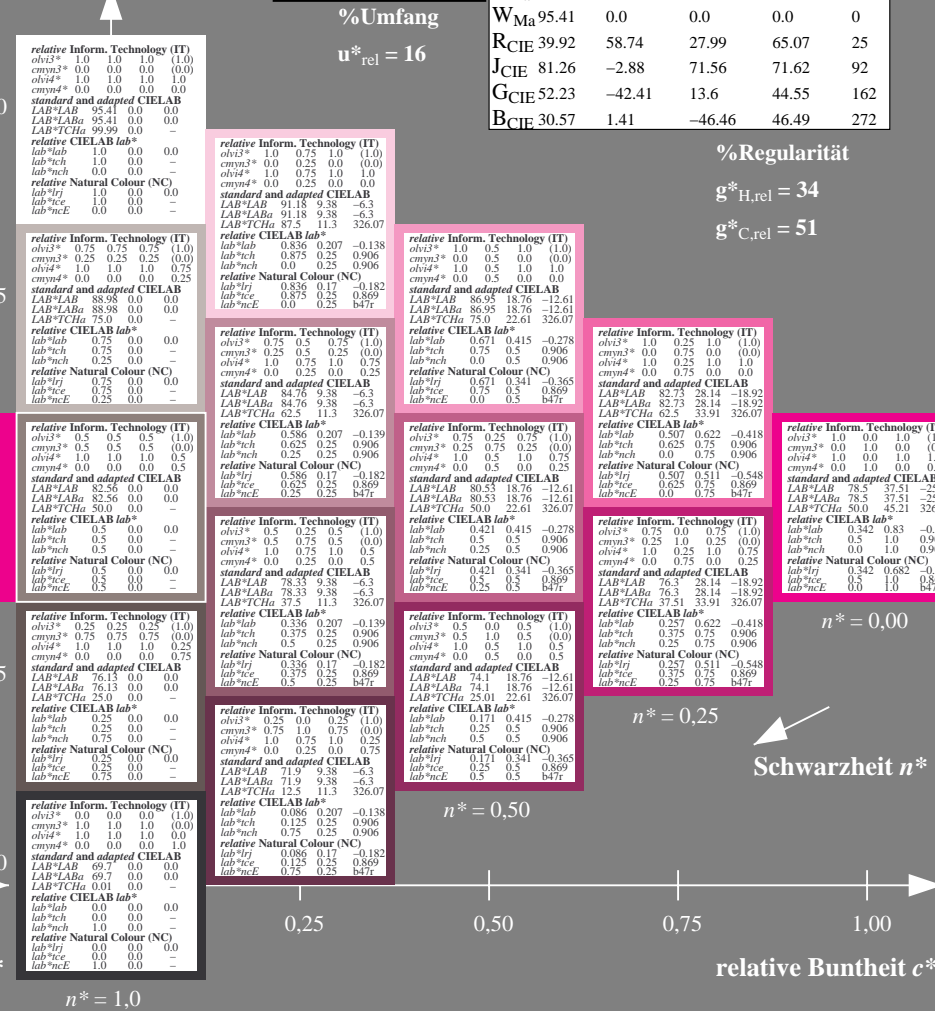


TLS70; adaptierte CIELAB-Daten

	$L^* = L^*_a$	a^*_a	b^*_a	$C^*_{ab,a}$	$h^*_{ab,a}$
O _{Ma}	76.43	26.27	10.57	28.32	22
Y _{Ma}	93.93	-10.76	34.63	36.27	107
L _{Ma}	89.32	-35.8	27.64	45.24	142
C _{Ma}	90.93	-21.95	-7.07	23.07	198
V _{Ma}	72.1	15.76	-35.63	38.97	294
M _{Ma}	78.5	37.52	-25.23	45.22	326
N _{Ma}	69.7	0.0	0.0	0.0	0
W _{Ma}	95.41	0.0	0.0	0.0	0
R _{CIE}	39.92	58.74	27.99	65.07	25
J _{CIE}	81.26	-2.88	71.56	71.62	92
G _{CIE}	52.23	-42.41	13.6	44.55	162
B _{CIE}	30.57	1.41	-46.46	46.49	272

%Umfang
 $u^*_{rel} = 16$

%Regularität
 $g^*_{H,rel} = 34$
 $g^*_{C,rel} = 51$



5 stufige Reihen für konstanten CIELAB Buntton 326/360 = 0.906 (rechts)

BAM-Prüfvorlage OG49; Farbmatrik-Systeme ORS18 & ORS18input: $cmY0^* setcmykcolor$
D65: 5stufige Farbreihen und Koordinatendaten für 10 Bunttöne output: *Startup (S) data dependend*

BAM-Registrierung: 20060101-OG49/10L/L49G05SP.PS/.PDF BAM-Material: Code=rhatha
Anwendung für Beurteilung und Messung von Drucker- oder Monitorssystemen
OG49/ Form: 6/10, Serie: 1/1, Seite: 6
Schenzhung 6

Eingabe: Farbmetrisches Fernseh-Licht-System TLS70

für Buntton $h^* = lab^*h = 25/360 = 0.071$

lab^*tch und lab^*nch

D65: Buntton R
LCH*Ma: 77 27 25
olv*Ma: 1.0 0.05 0.0

Dreiecks-Helligkeit

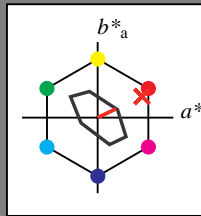
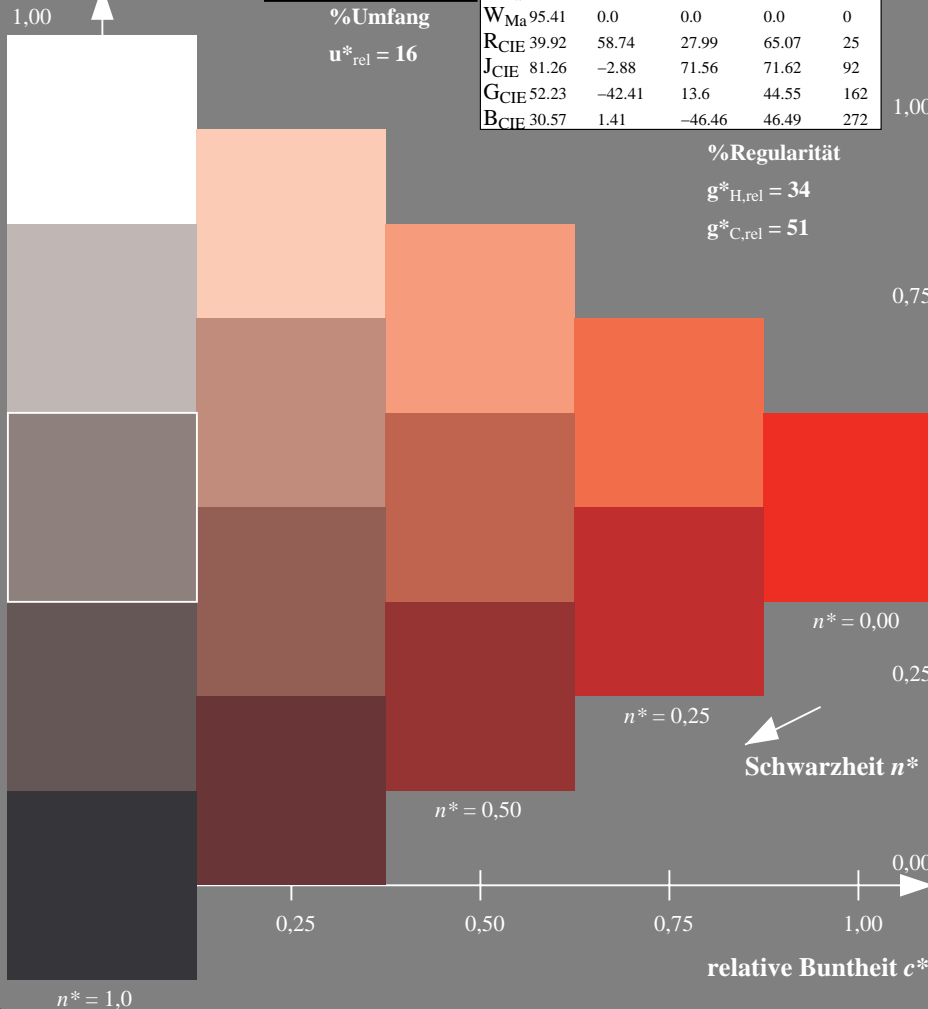


Table with 5 columns: L*, a*a, b*a, C*ab,a, h*ab,a. Rows include OMa, YMa, LMa, CMa, VMa, MMa, NMa, WMa, RCIE, JCIE, GCIE, BCIE.

%Regularität

$g^*_{H,rel} = 34$

$g^*_{C,rel} = 51$



Ausgabe: Farbmetrisches Fernseh-Licht-System TLS70

für Buntton $h^* = lab^*h = 25/360 = 0.071$

lab^*tch und lab^*nch

D65: Buntton R
LCH*Ma: 77 27 25
olv*Ma: 1.0 0.05 0.0

Dreiecks-Helligkeit

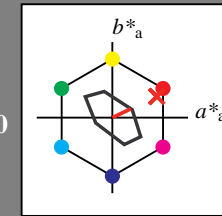
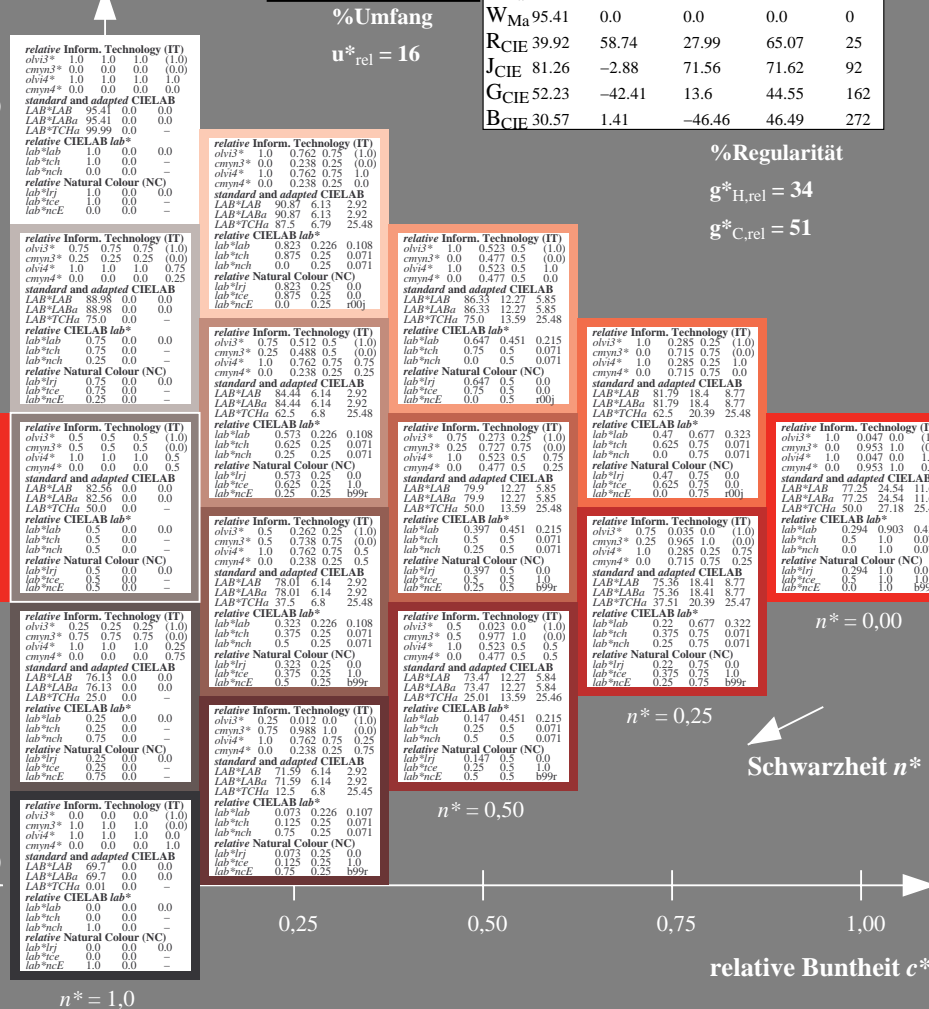


Table with 5 columns: L*, a*a, b*a, C*ab,a, h*ab,a. Rows include OMa, YMa, LMa, CMa, VMa, MMa, NMa, WMa, RCIE, JCIE, GCIE, BCIE.

%Regularität

$g^*_{H,rel} = 34$

$g^*_{C,rel} = 51$



OG490-7, 5 stufige Reihen für konstanten CIELAB Buntton 25/360 = 0.071 (links)

5 stufige Reihen für konstanten CIELAB Buntton 25/360 = 0.071 (rechts)

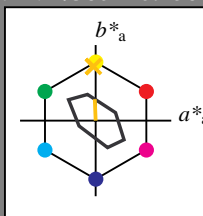
BAM-Prüfvorlage OG49; Farbmetrik-Systeme ORS18 & ORS18input: $cmY0^* setcmycolor$

D65: 5stufige Farbreihen und Koordinatendaten für 10 Bunttöne output: Startup (S) data dependend

Eingabe: Farbmatisches Fernseh-Licht-System TLS70

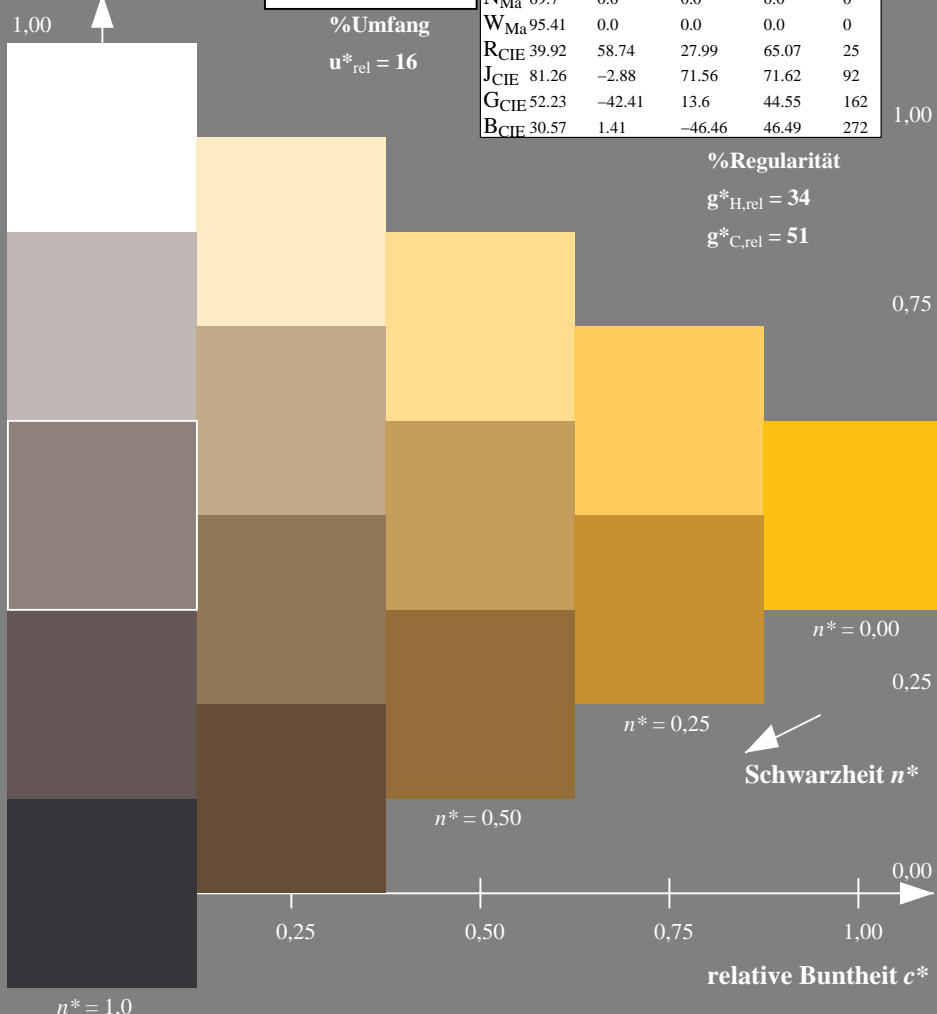
für Bunnton $h^* = lab^*h = 92/360 = 0.256$
 lab^*tch und lab^*nch

D65: Bunnton J
 LCH*Ma: 89 28 92
 olv*Ma: 1.0 0.74 0.0
 Dreiecks-Helligkeit



%Umfang

$u^*_{rel} = 16$

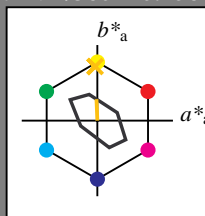


OG490-7, 5 stufige Reihen für konstanten CIE LAB Bunton 92/360 = 0.256 (links)

Ausgabe: Farbmatisches Fernseh-Licht-System TLS70

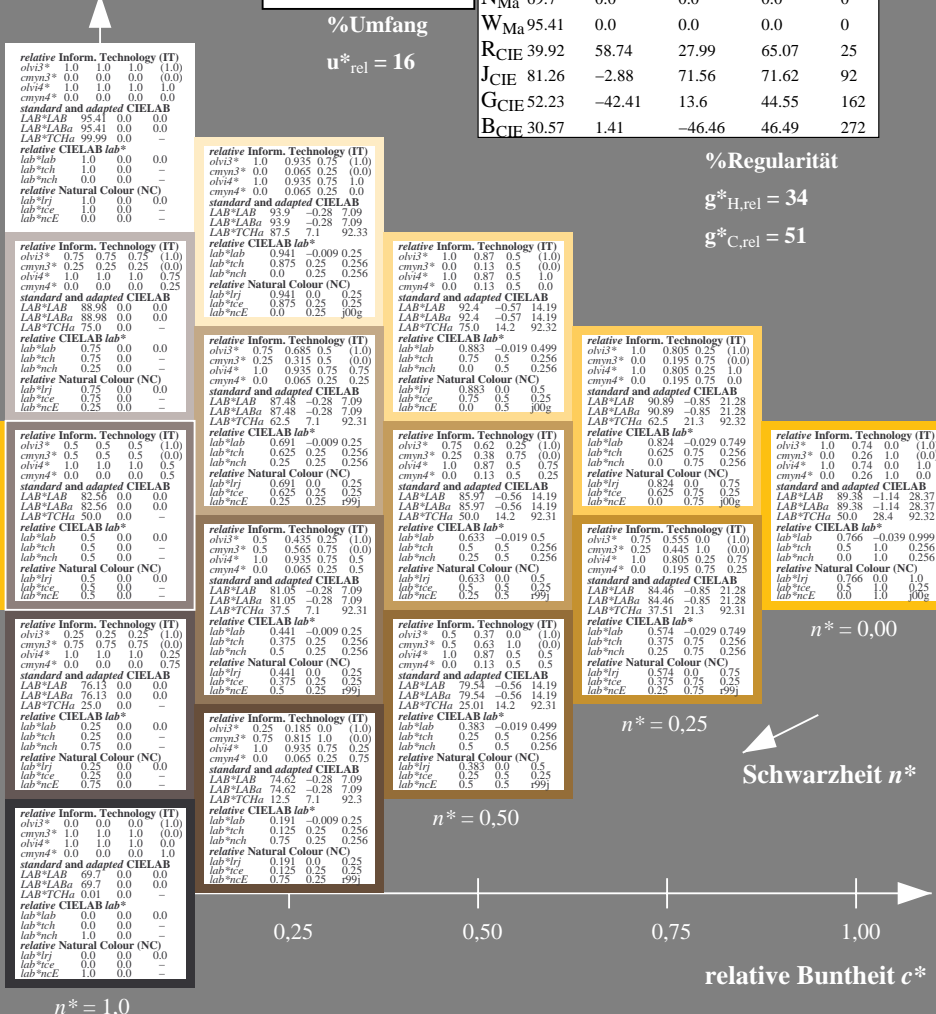
für Bunnton $h^* = lab^*h = 92/360 = 0.256$
 lab^*tch und lab^*nch

D65: Bunnton J
 LCH*Ma: 89 28 92
 olv*Ma: 1.0 0.74 0.0
 Dreiecks-Helligkeit



%Umfang

$u^*_{rel} = 16$



5 stufige Reihen für konstanten CIE LAB Bunton 92/360 = 0.256 (rechts)

BAM-Prüfvorlage OG49; Farbmatrik-Systeme ORS18 & ORS18input: $cmY0^*$ setcmykcolor
 D65: 5stufige Farbreihen und Koordinatendaten für 10 Bunntöne output: Startup (S) data dependend

Siehe ähnliche Dateien: <http://www.ps.bam.de/OG49/>
 Technische Information: <http://www.ps.bam.de/Version 2.1, io=0,0?>

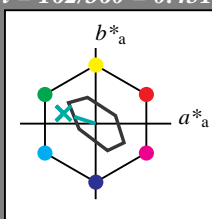
BAM-Registrierung: 20060101-OG49/10L/L49G07SP.PS/.PDF BAM-Material: Code=rhaktat
 Anwendung für Beurteilung und Messung von Drucker- oder Monitorsystemen

Eingabe: Farbmatisches Fernseh-Licht-System TLS70

für Buntton $h^* = lab^*h = 162/360 = 0.451$
 lab^*tch und lab^*nch

D65: Buntton G
 LCH*Ma: 90 30 162
 olv*Ma: 0.0 1.0 0.53

Dreiecks-Helligkeit



TLS70; adaptierte CIELAB-Daten

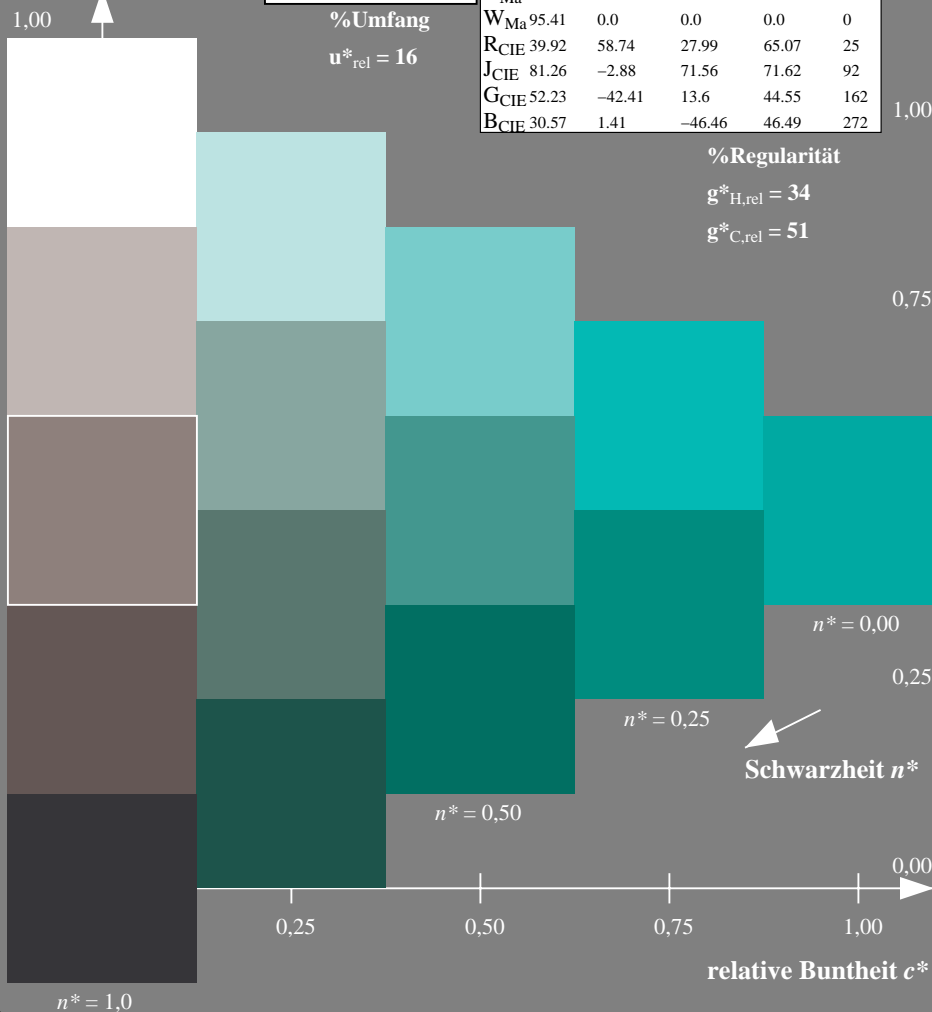
	$L^*=L^*_a$	a^*_a	b^*_a	$C^*_{ab,a}$	$h^*_{ab,a}$
O _{Ma}	76.43	26.27	10.57	28.32	22
Y _{Ma}	93.93	-10.76	34.63	36.27	107
L _{Ma}	89.32	-35.8	27.64	45.24	142
C _{Ma}	90.93	-21.95	-7.07	23.07	198
V _{Ma}	72.1	15.76	-35.63	38.97	294
M _{Ma}	78.5	37.52	-25.23	45.22	326
N _{Ma}	69.7	0.0	0.0	0.0	0
W _{Ma}	95.41	0.0	0.0	0.0	0
R _{CIE}	39.92	58.74	27.99	65.07	25
J _{CIE}	81.26	-2.88	71.56	71.62	92
G _{CIE}	52.23	-42.41	13.6	44.55	162
B _{CIE}	30.57	1.41	-46.46	46.49	272

%Umfang
 $u^*_{rel} = 16$

%Regularität

$g^*_{H,rel} = 34$

$g^*_{C,rel} = 51$

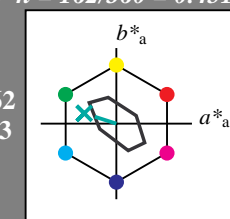


Ausgabe: Farbmatisches Fernseh-Licht-System TLS70

für Buntton $h^* = lab^*h = 162/360 = 0.451$
 lab^*tch und lab^*nch

D65: Buntton G
 LCH*Ma: 90 30 162
 olv*Ma: 0.0 1.0 0.53

Dreiecks-Helligkeit



TLS70; adaptierte CIELAB-Daten

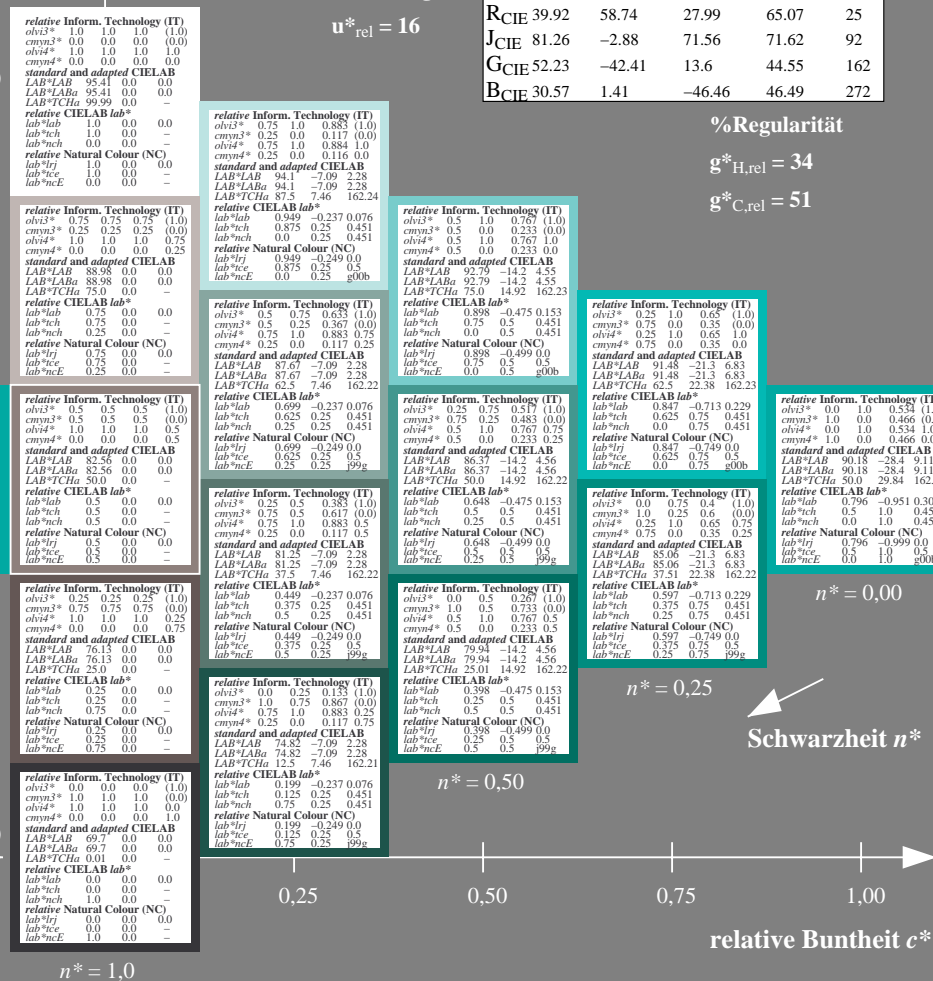
	$L^*=L^*_a$	a^*_a	b^*_a	$C^*_{ab,a}$	$h^*_{ab,a}$
O _{Ma}	76.43	26.27	10.57	28.32	22
Y _{Ma}	93.93	-10.76	34.63	36.27	107
L _{Ma}	89.32	-35.8	27.64	45.24	142
C _{Ma}	90.93	-21.95	-7.07	23.07	198
V _{Ma}	72.1	15.76	-35.63	38.97	294
M _{Ma}	78.5	37.52	-25.23	45.22	326
N _{Ma}	69.7	0.0	0.0	0.0	0
W _{Ma}	95.41	0.0	0.0	0.0	0
R _{CIE}	39.92	58.74	27.99	65.07	25
J _{CIE}	81.26	-2.88	71.56	71.62	92
G _{CIE}	52.23	-42.41	13.6	44.55	162
B _{CIE}	30.57	1.41	-46.46	46.49	272

%Umfang
 $u^*_{rel} = 16$

%Regularität

$g^*_{H,rel} = 34$

$g^*_{C,rel} = 51$



OG490-7, 5 stufige Reihen für konstanten CIELAB Buntton 162/360 = 0.451 (links)

5 stufige Reihen für konstanten CIELAB Buntton 162/360 = 0.451 (rechts)

BAM-Prüfvorlage OG49; Farbmatrik-Systeme ORS18 & ORS18input: $cmY0^* setcmykcolor$
 D65: 5stufige Farbreihen und Koordinatendaten für 10 Bunttöne output: *Startup (S) data dependend*

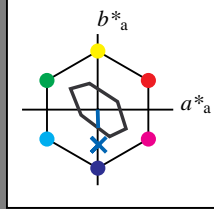
Eingabe: Farbmatisches Fernseh-Licht-System TLS70

für Bunnton $h^* = lab^*h = 272/360 = 0.755$

lab^*tch und lab^*nch

D65: Bunnton B
LCH*Ma: 80 24 272
olv*Ma: 0.0 0.4 1.0

Dreiecks-Helligkeit



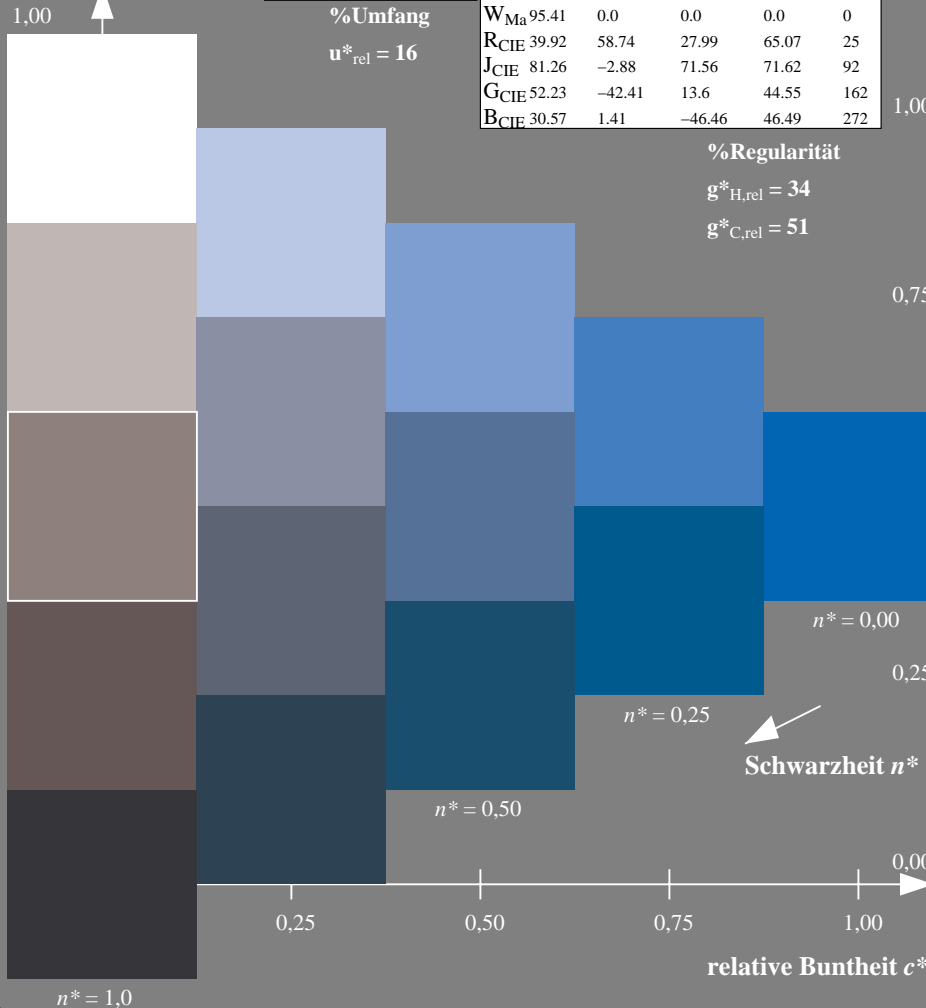
TLS70; adaptierte CIELAB-Daten

	$L^* = L^*_a$	a^*_a	b^*_a	$C^*_{ab,a}$	$h^*_{ab,a}$
O _{Ma}	76.43	26.27	10.57	28.32	22
Y _{Ma}	93.93	-10.76	34.63	36.27	107
L _{Ma}	89.32	-35.8	27.64	45.24	142
C _{Ma}	90.93	-21.95	-7.07	23.07	198
V _{Ma}	72.1	15.76	-35.63	38.97	294
M _{Ma}	78.5	37.52	-25.23	45.22	326
N _{Ma}	69.7	0.0	0.0	0.0	0
W _{Ma}	95.41	0.0	0.0	0.0	0
R _{CIE}	39.92	58.74	27.99	65.07	25
J _{CIE}	81.26	-2.88	71.56	71.62	92
G _{CIE}	52.23	-42.41	13.6	44.55	162
B _{CIE}	30.57	1.41	-46.46	46.49	272

%Regularität

$g^*_{H,rel} = 34$

$g^*_{C,rel} = 51$



OG490-7, 5 stufige Reihen für konstanten CIELAB Bunnton 272/360 = 0.755 (links)

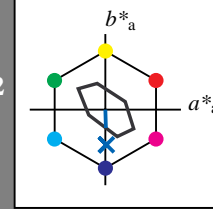
Ausgabe: Farbmatisches Fernseh-Licht-System TLS70

für Bunnton $h^* = lab^*h = 272/360 = 0.755$

lab^*tch und lab^*nch

D65: Bunnton B
LCH*Ma: 80 24 272
olv*Ma: 0.0 0.4 1.0

Dreiecks-Helligkeit



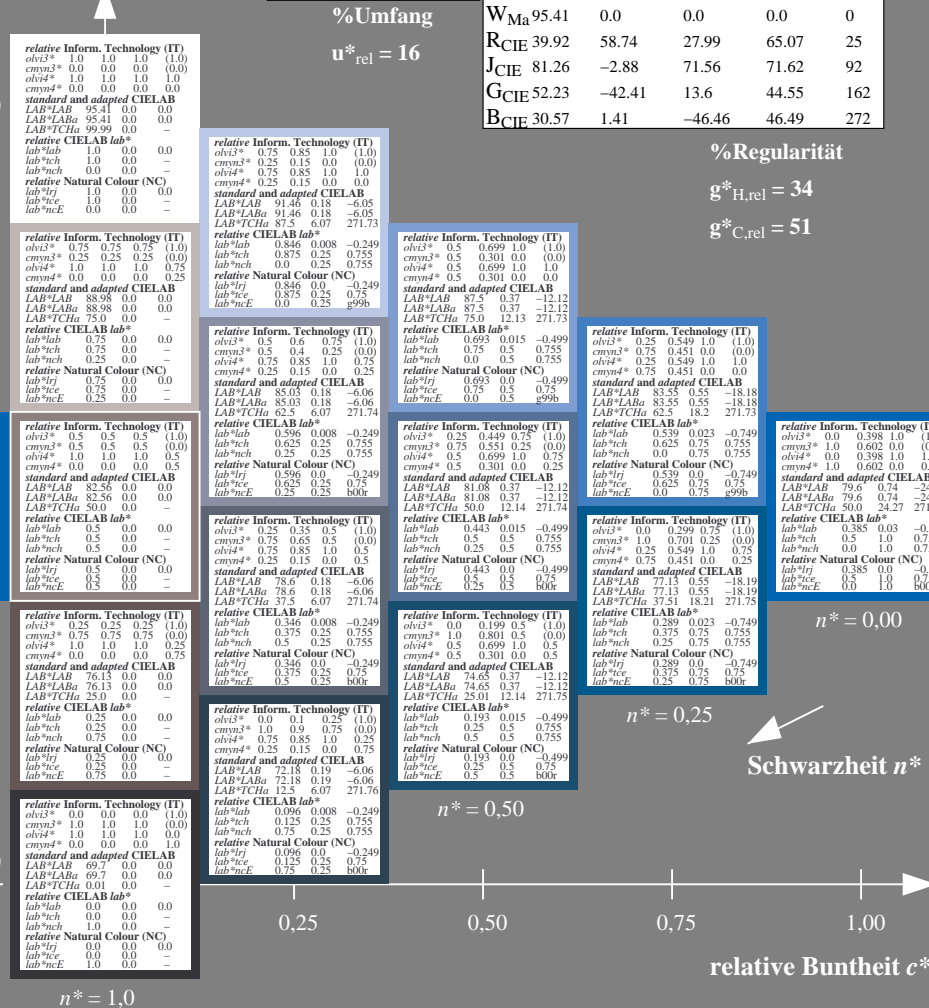
TLS70; adaptierte CIELAB-Daten

	$L^* = L^*_a$	a^*_a	b^*_a	$C^*_{ab,a}$	$h^*_{ab,a}$
O _{Ma}	76.43	26.27	10.57	28.32	22
Y _{Ma}	93.93	-10.76	34.63	36.27	107
L _{Ma}	89.32	-35.8	27.64	45.24	142
C _{Ma}	90.93	-21.95	-7.07	23.07	198
V _{Ma}	72.1	15.76	-35.63	38.97	294
M _{Ma}	78.5	37.52	-25.23	45.22	326
N _{Ma}	69.7	0.0	0.0	0.0	0
W _{Ma}	95.41	0.0	0.0	0.0	0
R _{CIE}	39.92	58.74	27.99	65.07	25
J _{CIE}	81.26	-2.88	71.56	71.62	92
G _{CIE}	52.23	-42.41	13.6	44.55	162
B _{CIE}	30.57	1.41	-46.46	46.49	272

%Regularität

$g^*_{H,rel} = 34$

$g^*_{C,rel} = 51$



5 stufige Reihen für konstanten CIELAB Bunnton 272/360 = 0.755 (rechts)

BAM-Prüfvorlage OG49; Farbmatrik-Systeme ORS18 & ORS18input: $cmY0^* setcmycolor$

D65: 5stufige Farbreihen und Koordinatendaten für 10 Bunntöne output: *Startup (S) data dependend*

BAM-Registrierung: 20060101-OG49/10L/L49G09SP.PS/.PDF BAM-Material: Code=rh4ta
Anwendung für Beurteilung und Messung von Drucker- oder Monitorssystemen
OG49/ Form: 1010/Seite: 1/1, Seite: 10
Schenzhung 10